

ความสัมพันธ์ระหว่างค่ากำลังรับแรงเนื่องกับค่าความหนืดของดินเหนียว

นายสุธี มุกดาดิลก

ศูนย์วิทยทรัพยากร จุฬาลงกรณ์มหาวิทยาลัย

วิทยานิพนธ์นี้เป็นส่วนหนึ่งของการศึกษาตามหลักสูตรปริญญาวิศวกรรมศาสตรมหาบัณฑิต

สาขาวิชาวิศวกรรมโยธา ภาควิชาวิศวกรรมโยธา

คณะวิศวกรรมศาสตร์ จุฬาลงกรณ์มหาวิทยาลัย

ปีการศึกษา 2546

ISBN 974-17-4464-1

ลิขสิทธิ์ของจุฬาลงกรณ์มหาวิทยาลัย

RELATIONSHIP BETWEEN SHEAR STRENGTH AND VISCOSITY OF CLAY

Mr. Sutee Mukdadilok

ศูนย์วิทยบรังษย
จุฬาลงกรณ์มหาวิทยาลัย

A Thesis Submitted in Partial Fulfillment of the Requirements
for the Degree of Master of Engineering in Civil Engineering

Department of Civil Engineering

Faculty of Engineering

Chulalongkorn University

Academic Year 2003

ISBN 974-17-4464-1

หัวข้อวิทยานิพนธ์ ความสัมพันธ์ระหว่างค่ากำลังรับแรงเชื่อมกับค่าความหนืดของดินเหนี่ยว
โดย นาย สุธี มุกดาดิลก
สาขาวิชา วิศวกรรมโยธา
อาจารย์ที่ปรึกษา ผู้ช่วยศาสตราจารย์ ดร. บุญชัย อุกฤษฎา

คณะวิศวกรรมศาสตร์ จุฬาลงกรณ์มหาวิทยาลัย อนุมัติให้นับวิทยานิพนธ์ฉบับนี้
เป็นส่วนหนึ่งของการศึกษาตามหลักสูตรปริญญามหาบัณฑิต

..... คณบดี คณะวิศวกรรมศาสตร์
(ศาสตราจารย์ ดร. ดิเรก ลาวณย์ศิริ)

คณะกรรมการสอบวิทยานิพนธ์

..... ประธานกรรมการ
(รองศาสตราจารย์ ดร. วันชัย เทพรักษ์)

..... อาจารย์ที่ปรึกษา
(ผู้ช่วยศาสตราจารย์ ดร. บุญชัย อุกฤษฎา)

..... อาจารย์ที่ปรึกษาอีกคน
(Dr. Tien Ho Seah)

..... กรรมการ
(ผู้ช่วยศาสตราจารย์ ดร. ศุภจน์ เตชะรัตน์)

..... กรรมการ
(อาจารย์ ดร. สุรัตนา บุญญาภิเษก)

สุธี มุกดาดิลก : ความสัมพันธ์ระหว่างค่ากำลังรับแรงเฉือนกับความหนืดของดินเหนียว
(RELATIONSHIP BETWEEN SHEAR STRENGTH AND VISCOSITY OF CLAY) อ. ที่
ปรึกษา : ผู้ช่วยศาสตราจารย์ ดร.บุญชัย อุตุษฎา, 131 หน้า. ISBN 974-17-4464-1..

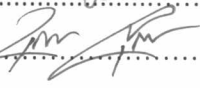
วิทยานิพนธ์นี้มีวัตถุประสงค์เพื่อศึกษาความสัมพันธ์ระหว่างกำลังรับแรงเฉือนกับความหนืดของดินเหนียว การหาค่ากำลังรับแรงเฉือนดำเนินการทดสอบ 2 วิธี คือการทดสอบแบบกรวยตอกและทดสอบหาค่ากำลังรับแรงเฉือนด้วยใบพัดในห้องทดสอบ การหาค่าความหนืดดำเนินการทดสอบ 2 วิธี คือจากเครื่องมือ Baroid Rheometer และเครื่องมือ Marsh Funnel Viscometer ดินเหนียวที่ใช้ในการทดสอบเก็บมาจาก สนามบินหนองงูเห่าและนนทบุรี และดินเหนียว Kaolin ได้นำมาใช้เป็นส่วนหนึ่งของโปรแกรมการทดสอบด้วย เครื่องมือทดสอบกรวยตอกแบบมาตรฐานได้ถูกปรับปูนเพื่อให้สามารถตัดค่าระยะจมของหัวกรวยได้อย่างต่อเนื่องกับเวลา งานวิจัยนี้ยังศึกษาค่าต่างๆที่มีผลกระทบต่อการทดสอบกรวยตอก เช่น น้ำหนักกรวย, วัสดุที่ใช้หัวกรวย, មุมของหัวกรวย และขนาดของถ้วยใส่ดิน นอกจากนั้น วิทยานิพนธ์ฉบับนี้ยังได้ปรับปูนวิธีการเตรียมตัวอย่างด้วยวิธีดูดอากาศออก เพื่อให้สามารถควบคุมความเป็นเนื้อเดียวกันและความสม่ำเสมอ กันของตัวอย่าง

ผลการทดสอบกรวยตอกแสดงให้เห็นว่ากราฟความสัมพันธ์ระหว่างระยะจมของหัวกรวยกับเวลา แบ่งเป็นพุตติกรรมทาง Kinematics และ Creep ที่ช่วงเวลาในการตอกประมาณ 5 วินาที นอกจากนั้น การศึกษาผลกระทบต่อถ้วยใส่ดินในการทดสอบกรวยตอกแบบอิสระพบว่า ขนาดของถ้วยใส่ดินที่เหมาะสมคือมี เส้นผ่านศูนย์กลาง 76 มม. และความลึก 40 มม. เพื่อใช้เป็นมาตรฐานในการทดสอบ การทดสอบสามารถสรุปได้ว่าวัสดุที่ใช้สำหรับทำหัวกรวยมีผลกระทบต่อระยะเวลาจมของหัวกรวย เนื่องจากแรงเสียดทานของผิว ที่สัมผัสกับดินเหนียวที่ทดสอบ

การทดสอบกำลังรับแรงเฉือนด้วยใบพัดในห้องทดสอบได้ดำเนินการทดสอบที่ค่าปริมาณความชื้นที่ใกล้กับพิกัดเหลว ความสัมพันธ์ระหว่างค่ากำลังรับแรงเฉือนในสภาพไม่ระบายน้ำจากการทดสอบกำลังรับแรงเฉือนด้วยใบพัดในห้องทดสอบและปริมาณความชื้น(ดัชนีเหลว)ได้นำเสนอใน วิทยานิพนธ์นี้

ผลการทดสอบกรวยตอกเบรียบเทียบกับการทดสอบหาค่ากำลังรับแรงเฉือนด้วยใบพัดในห้องทดสอบ ได้นำเสนอ ค่า K ซึ่งพบว่ามีค่าใกล้เคียงกับงานวิจัยที่ผ่านมาแล้ว

วิทยานิพนธ์ฉบับนี้ได้นำเสนอสมการเชิงประสมประภณ์ของความสัมพันธ์ระหว่างค่ากำลังรับแรงเฉือนกับสัมประสิทธิ์ความหนืดจากการทดสอบความหนืดของดินเหนียวแปลงสภาพ ช่วงของปริมาณความชื้นของสมการที่นำเสนอจะอยู่ในช่วงแคบ เนื่องจากจากการหาค่ากำลังรับแรงเฉือนที่มีค่าต่ำมากจะกระทำได้ยากเมื่อใช้ด้วยการทดสอบหาค่ากำลังรับแรงเฉือนด้วยใบพัดในห้องทดสอบ ในวิทยานิพนธ์ฉบับนี้เสนอข้อแนะนำวิธีการเพิ่มช่วงความสัมพันธ์ระหว่างค่ากำลังรับแรงเฉือนกับความหนืดให้เพิ่มมากขึ้น

ภาควิชา..... วิศวกรรมโยธา ลายมือชื่อนิสิต..... 
 สาขาวิชา..... วิศวกรรมโยธา ลายมือชื่ออาจารย์ที่ปรึกษา..... 
 ปีการศึกษา..... 2546

4470606321: MAJOR CIVIL ENGINEERING

KEY WORD: CLAYS / SHEAR STRENGTH / VISCOSITY/ K / SALT CONTENT

SUTEE MUKDADILOK: RELATIONSHIP BETWEEN SHEAR STRENGTH AND VISCOSITY

OF CLAY. THESIS ADVISOR: ASST. PROF. BOONCHAI UKRITCHON, Sc.D., 131 pp. ISBN 974-17-4464-1.

The primary objective of the thesis is to study the relationship between the undrained shear strength and the viscosity of clay. Two methods of determining the undrained shear strength were used; they were fall cone and laboratory vane shear tests. For viscosity measurements, two methods were selected, including baroid rheometer and marsh funnel tests. Soft clay samples were taken from the New Bangkok Airport and Nonthaburi, and Kaolin was also used as part of the research program. The standard fall cone apparatus was modified, enabling continuous recording of cone penetration with time. Several influencing parameters on the cone, such as cone weight, cone material, apex angle as well as container size, were investigated. An improved method of preparing the samples for testing by means of vacuum was developed with better control of sample homogeneity and uniformity.

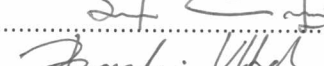
The fall cone test results indicated that there was a distinct break in the penetration-time curve, separating the kinematics and creep behavior at approximately 5 seconds period. In addition, the container has a significant influence on the freedom of cone penetration; a minimum container diameter of 76 mm with depth of 40 mm should be used in the standard testing. It was also concluded that the material used for the cone had some effect on the penetration depth due to its adhesion properties with clayey sample.

The laboratory vane shear tests were conducted at water content close to the liquid limit. A relationship between the undrained shear strength from the vane test and water content (or liquidity index) was established.

The results from the fall cone and laboratory vane shear were compared, and the cone factor, K, was determined with values close to published data.

The relationship of undrained shear strength and coefficient of viscosity from the viscosity test was also established for the remolded clay, providing some empirical equations. The range of water content in the test was relatively narrow due to difficulty in measuring the low undrained shear strength in the vane shear tests. Recommendations have been provided to extend the overlapping range in these tests.

Department Civil Engineering Student's signature..... 

Field of study Civil Engineering Advisor's signature..... 

Academic year 2003

กิตติกรรมประกาศ

วิทยานิพนธ์ฉบับนี้สำเร็จลงได้ ผู้เขียนขอขอบพระคุณผู้ช่วยศาสตราจารย์ ดร.บุญชัย อุกฤษฎา ในการแนะนำอาจารย์ที่ปรึกษาที่ได้ให้คำปรึกษา แนะนำทาง ตรวจสอบ ตลอดจนปรับปรุงแก้ไขวิทยานิพนธ์นี้

Dr. Seah Tian Ho ในฐานะอาจารย์ที่ปรึกษาร่วม ที่ได้ให้คำชี้แนะวิธีการทดสอบ และให้ยืมเครื่องมือทดสอบ ตลอดจนได้ปรับปรุงแก้ไขวิทยานิพนธ์นี้จนสำเร็จลุล่วงด้วยดี

คณะกรรมการสอบวิทยานิพนธ์ทุกท่าน ที่กรุณาสละเวลา และให้คำแนะนำ รวมทั้งให้ข้อคิดเห็นที่เป็นประโยชน์ในการจัดทำวิทยานิพนธ์ฉบับนี้

มหาวิทยาลัย Asia Institutes of Technology (AIT) ที่ได้ให้คำชี้แนะวิธีการทดสอบ และให้ยืมเครื่องมือทดสอบ

ผู้เขียนขอขอบคุณ พี่ น้อง และเพื่อนๆ ทุกคนตลอดจนเจ้าหน้าที่วิจัยปฐพีกลศาสตร์ ภาควิชาวิศวกรรมโยธา คณะวิศวกรรมศาสตร์ จุฬาลงกรณ์มหาวิทยาลัย ที่ได้ให้ความร่วมมือ และช่วยเหลือเป็นอย่างดีเสมอมา

สุดท้ายนี้ ผู้เขียนประณานาทจะแสดงความรำลึกถึงพระคุณของบิดาและมารดา ที่ได้ให้ความสนับสนุน และเป็นกำลังใจแก่ผู้เขียนมาโดยตลอด จนสำเร็จการศึกษาในระดับนี้



สารบัญ

หน้า

บทคัดย่อภาษาไทย	๑
บทคัดย่อภาษาอังกฤษ	๑
กิตติกรรมประกาศ	๒
สารบัญ	๓
สารบัญรูป	๔
สารบัญตาราง	๕
บทที่ 1 บทนำ	๑
1.1 คำนำ	๑
1.2 วัตถุประสงค์ของการวิจัย	๓
1.3 ขอบเขตของงานวิจัย	๓
1.4 ประโยชน์ของงานวิจัย	๔
บทที่ 2 ทฤษฎีและงานวิจัยที่เกี่ยวข้อง	๕
2.1 กำลังรับแรงเฉือนของดินแบบไม่ระบายน้ำ (Undrained Shear Strength of Soil)	๕
2.1.1 การทดสอบแบบกรวยตก (Fall Cone Test)	๕
2.1.2 การทดสอบ Laboratory Vane Shear Test	๒๒
2.2 การทดสอบ ความเหนืด (Viscosity) ของดินเหนียว	๒๒
บทที่ 3 วิธีการทดสอบและวิจัย	๓๓
3.1 ตัวอย่างดินเหนียว 3 ชนิดที่ใช้ในการทดสอบ	๓๓
3.1.1 ตัวอย่างดินเหนียวอ่อนกรุงเทพฯ	๓๓
3.1.2 ตัวอย่างดินเหนียววนทองบุรี	๓๓
3.1.3 ตัวอย่างดินเหนียว Kaoline	๓๓
3.2 การทดสอบคุณสมบัติพื้นฐาน และคุณสมบัติทางเคมีของดิน	๓๕
3.3 โปรแกรมการทดสอบ	๓๕

สารบัญ (ต่อ)

บทที่	หน้า
3.3.1 ทดสอบหากำลังรับแรงเฉือนด้วยเครื่องมือกรวยตก (Fall Cone Test)	35
3.3.2 ทดสอบกำลังรับแรงเฉือนด้วยวีรี การทดสอบแรงเฉือน ด้วยใบพัดในห้องทดสอบ (Laboratory Vane Shear Test).....	36
3.3.3 ทดสอบหาค่าความหนืดของดินเหนียว (Viscosity Test).....	36
3.4 การหากำลังรับแรงเฉือนด้วยเครื่องมือกรวยตก (Fall Cone Test)	38
3.4.1 เครื่องมือทดสอบ.....	38
3.4.1.1 ถ้วยใส่ดิน (Container)	38
3.4.1.2 เครื่องมือทดสอบกรวยตก (Fall Cone Apparatus)	38
3.4.1.3 หัวกรวยตก (Cone Head)	41
3.4.2 ขั้นตอนการทดสอบ	42
3.4.1.1 ขั้นตอนการทดสอบด้วยเครื่องมือกรวยตก (Fall Cone Test)	38
3.4.1.2 ขั้นตอนการทดสอบด้วยเครื่องมือทดสอบกำลังรับแรง เฉือนด้วยใบพัดในห้องทดสอบ (Laboratory Vane Shear Test)	45
3.4.1.3 ขั้นตอนการทดสอบหาค่าความหนืด (Viscosity Test).....	48

ศูนย์วิทยทรัพยากร
จุฬาลงกรณ์มหาวิทยาลัย

สารบัญ (ต่อ)

บทที่	หน้า
บทที่ 4 ผลการทดสอบและวิเคราะห์ข้อมูล	51
4.1 ผลการทดสอบคุณสมบัติพื้นฐานและคุณสมบัติทางเคมีของดิน	51
4.1.1 ผลการทดสอบคุณสมบัติพื้นฐาน	51
4.1.2 ผลการทดสอบส่วนประกอบทางเคมี	51
4.2 เปรียบเทียบผลกระทบของอุปกรณ์และเวลาที่ใช้ในการทดสอบ Fall Cone Test	53
4.2.1 ศึกษาผลกระทบเนื่องจากเวลาที่ใช้ในการทดสอบ Fall Cone Test	53
4.2.2 ศึกษาผลกระทบเนื่องจากขนาดถ้วยใส่ดิน ของเครื่องมือ Fall Cone Test	57
4.2.3 ศึกษาผลกระทบเนื่องจากความลึกของถ้วยใส่ดิน (Depth of Container) ของเครื่องมือ Fall Cone Test	60
4.2.4 ศึกษาผลกระทบเนื่องจากพื้นผิวของหัวกรวย (Roundness of Cone)	61
4.3 การทดสอบ Fall Cone Test เพื่อหาความซึมพันธ์ระหว่างระบะจม (Cone Penetration) กับ Water Content	66
4.4 ทดสอบเครื่องมือห้ากลังแรงเฉือนด้วยใบพัดในห้องทดสอบ (Laboratory Vane Shear Test)	71
4.4.1 ศึกษาผลกระทบจากเปลี่ยนค่า Water Content กับกำลังรับแรงเฉือน	71
4.4.2 ศึกษาผลกระทบจากเปลี่ยนค่า Salt Content กับกำลังรับแรงเฉือน	77
4.5 เปรียบผลการทดสอบค่ากำลังรับแรงเฉือนของเครื่องมือกรวยตก (fall Cone Test) กับเครื่องมือทดสอบกำลังรับแรงเฉือนด้วยใบพัดในห้องทดสอบ (Laboratory Vane Shear Test)	81
4.5.1 เปรียบเทียบค่ากำลังรับแรงเฉือน เพื่อหาค่า K ของเครื่องมือกรวย ตก (Fall Cone Apparatus)	81
4.5.2 เปรียบเทียบค่า K ของจากหัวกรวยตก (Cone Head) น้ำหนักต่างกัน แต่ มุมเท่ากันที่ 30°	87

สารบัญ (ต่อ)

บทที่ 1	หน้า
4.5.3 เปรียบเทียบค่า K ของจากมุมหัวกรวยตอก (Cone Angle) ที่แตกต่างกันที่ $30^\circ, 60^\circ, 90^\circ$	91
4.6 ทดสอบเครื่องมือหาค่าความหนืด (Viscosity Test).....	100
4.6.1 ศึกษาผลจากเปลี่ยนค่า Water Content กับค่าความหนืด ด้วยเครื่องมือทดสอบ Marsh Funnel Viscometer.....	100
4.6.2 ศึกษาผลจากเปลี่ยนค่า Water Content กับค่าความหนืด (Viscosity) ด้วยเครื่องมือทดสอบ Hand-Crank Viscometer.....	107
4.7 นำผลการทดสอบค่ากำลังรับแรงเฉือน (Shear Strength, c_u) เปรียบเทียบกับค่าความหนืด (Viscosity, η).....	113
 บทที่ 5 สรุปผลการทดสอบและข้อเสนอแนะ	118
5.1 สรุปผลการทดสอบ	118
5.2 ข้อเสนอแนะในการศึกษาเพิ่มเติม	120
 รายการอ้างอิง.....	121
 ภาคผนวก	124
ภาคผนวก ก. การ Calibrated Linear Vertical Displacement Transformer type Free Fall.....	125
ภาคผนวก ข. วิธีการทดสอบ Properties ของตัวอย่างดินเหนียว.....	129
ประวัติผู้เขียนวิทยานิพนธ์	131

สารบัญรูป

รูปที่	หน้า
2.1 ทดสอบแบบกรวยตก (Fall Cone Test) จาก BS 1377	6
2.2 ความสัมพันธ์ระหว่างระยะจมกับกำลังรับแรงเฉือน จาก Youssef et al. (1965)	8
2.3 ความสัมพันธ์ระหว่างระยะจมกับปริมาณความชื้น จาก Youssef et al. (1965) (ต่อ)	8
2.4 ขอบเขตของค่ากำลังรับแรงเฉือนและค่าดัชนีความเหลวของดินเหนียว โดย Skempton Northley (1953)	11
2.5 ทฤษฎีการเคลื่อนตัวของ Fall Cone: Normalized Penetration versus Normalized Time And Normalized velocity โดย Zreik (1995)	13
2.6 เครื่องมือ Fall Cone แบบใหม่ ที่ใช้ระบบ Counterweight โดย Zreik (1995).....	14
2.7 ความสัมพันธ์ของกำลังรับแรงเฉือนแบบไม่ระบายน้ำกับค่า Liquidity Index โดย Zreik (1995).....	16
2.8 ความสัมพันธ์ของระยะกรวยที่จมกับ Water Content โดย Feng, T.W. (2000)	17
2.9 Schematic Dyagram ของการทดสอบกรวยตก โดย Koumoto(2001).....	20
2.10 การเปลี่ยนแปลงค่า K ของการทดสอบ Fall Cone โดย Koumoto(2001).....	20
2.11 เครื่องมือ Laboratory Vane Shear Test	23
2.12 เครื่องมือ Marsh Funnel ทดสอบความหนืดตามมาตรฐาน API RP 13B Section 2).....	23
2.13 เครื่องมือ Hand-Crank Viscometer ทดสอบความหนืดตามมาตรฐาน API RP 13B, I , Section 3	24
2.14 ความสัมพันธ์ของ ค่าความชื้นกับค่ากำลังรับแรงเฉือน โดย Bentley (1979)	25
2.15 ความสัมพันธ์ของ pH กับ Yield Stress สำหรับดิน Gloucester โดย Bentley (1979).....	26
2.16 (a) ดินเหนียว South Nation และ (b) ดินเหนียว St. Leon le Ground ใน sodium-saturated state โดยเปลี่ยนแปลง ค่าความเค็มและค่าความชื้น โดย Torrance (1987) ..28	28
2.17 ความสัมพันธ์ระหว่าง Yield Stress ซึ่งหาค่าโดยใช้วิธีทดสอบค่าความหนืด และ ค่ากำลังรับแรงเฉือนซึ่งใช้วิธีกรวยตกในการทดสอบ (a) Na-saturated, (b) citrate-dithionite extracted และ Na-saturate (c) acid-base extracted และ Na-saturated, (d) Ca-saturated โดย Torrance (1987)	29
2.18 ชนิดของการไหลแบบต่างๆ (1) Newtonian (2) thickening (3) fluidizing (4) Casson (5) Bingham โดย Locat (1988).....	30
2.19 ความสัมพันธ์ระหว่าง Viscosity และ yield Stress โดย Locat (1988)	31

สารบัญรูป (ต่อ)

รูปที่	หน้า
2.20 ความสัมพันธ์ระหว่าง Liquidity Index และ yield Stress โดย Locat (1988).....	31
2.21 ความสัมพันธ์ระหว่าง Liquidity Index และ Viscosity โดย Locat (1988)	32
2.22 ความสัมพันธ์ของ Yield Stress และ Remoulded Shear Strength โดย Locat (1988)	32
3.1 แผนที่แสดงตำแหน่งหลุมเจาะ	34
3.2 ถ้วยใส่ดิน (Container)+ฝาปิด ที่ทำมาจาก PVC	39
3.3 การเตรียมตัวอย่างดิน และการดูดอากาศเพื่อควบคุมคุณภาพของตัวอย่าง	40
3.4 เครื่องมือทดสอบแบบกรวยตก ปรับปัจจุบัน (Fall Cone Apparatus)	40
3.5 หัวกรวยมุม 90°, 60°, 30° ตามลำดับด้วยวัสดุ Plastic และอันสุดท้ายคือ หัวกรวยแบบ มาตรฐานขนาด 30° ด้วยวัสดุ Stainless.....	41
3.6 หัวกรวย Plastic 30° (1) ไม่ได้เคลือบสารหล่อลื่น (2) เคลือบสารหล่อลื่น	41
3.7 เครื่องมือทดสอบการขัดตัวคายน้ำด้วยอัตราเครียดคงที่ (แบบการระบายน้ำในแนวตั้ง) ..	41
3.8 เครื่องมือทดสอบกำลังรับแรงเฉือนแบบใบพัดในห้องทดสอบ (Laboratory Vane Shear Test)	46
3.9 เครื่องมือทดสอบ Marsh Funnel Viscometer ตามมาตรฐาน API RP 13 B Section 2 ..	50
3.10 เครื่องมือ Baroid Rheometer หรือ Hand-Crank Viscometer ตามมาตรฐาน API RP 13 B ,I Section 2	50
4.1 แสดงระยะที่jmของกรวย (Vertical Displacement, mm.) เปรียบเทียบกับเวลา (Time, sec) ของดิน นนทบุรี ที่ค่าWater Content 58.35 %.....	54
4.2 ทฤษฎีการเคลื่อนตัวทาง Dynamic ของ Fall Cone Test โดยแสดงเป็น Normalized penetration กับ Normalized Time โดย Hansbo (1957)	54
4.3 แสดงเปรียบเทียบที่ช่วงเวลา 0-5 วินาที ของการตกของหัวกรวย เมื่อเทียบกับทฤษฎี Dynamic Fall Cone	55
4.4 แสดงการเกิด Creep ของ Fall Cone ที่ช่วงเวลาต่างๆ กัน เมื่อเทียบกับทฤษฎี Dynamic Fall	56
4.5 แสดงเปรียบเทียบขนาดของถ้วยใส่ดิน (Size of Container) ขนาด 2", 3" และ 4" โดย plot เปรียบเทียบระหว่าง ระยะที่jmของหัวกรวย (Penetration) กับ Water Content ของดิน นนทบุรี	58

สารบัญ (ต่อ)

รูปที่	หน้า
4.6 แสดงผลกระทบเนื่องจากการเกิด Heave และ Slip Line เพื่อหาขนาดของถ้วยใส่ดิน (size of Container) ของ Housby(1982)	58
4.7 แสดงผลกระทบจาก Mesh of Failure ของถ้วยใส่ดิน (size of Container) 2", 3" และ 4"	59
4.8 แสดงเปรียบเทียบขนาดของถ้วยใส่ดิน (Size of Container) ความลึก 4, 6, 8, 10 เซนติเมตร โดย plot เปรียบเทียบระหว่าง ระยะที่จมของหัวกรวย (Penetration) กับ Water Content ของดิน นนทบุรี	61
4.9 แสดงเปรียบเทียบหัวกรวยมาตรฐาน, หัวกรวย Plastic ที่เคลือบสารหล่อลื่น, หัวกรวย Plastic ที่ไม่เคลือบสารหล่อลื่น โดยใช้หัวกรวยขนาด 30° หนัก 80 กรัม ของตัวอย่าง ดินเหนียวบนองุ่นเห่า Water Content 63.72 %.....	62
4.10 แสดงเปรียบเทียบหัวกรวยมาตรฐาน, หัวกรวย Plastic ที่เคลือบสารหล่อลื่น, หัวกรวย Plastic ที่ไม่เคลือบสารหล่อลื่น โดยใช้หัวกรวยขนาด 30° หนัก 80 กรัม ของตัวอย่าง ดินเหนียวบนองุ่นเห่า Water Content 71.37 %.....	62
4.11 แสดงเปรียบเทียบหัวกรวยมาตรฐาน, หัวกรวย Plastic ที่เคลือบสารหล่อลื่น, หัวกรวย Plastic ที่ไม่เคลือบสารหล่อลื่น โดยใช้หัวกรวยขนาด 30° หนัก 80 กรัม ของตัวอย่าง ดินเหนียวบนองุ่นเห่า Water Content 84.15 %.....	63
4.12 แสดงเปรียบเทียบหัวกรวยมาตรฐาน, หัวกรวย Plastic ที่เคลือบสารหล่อลื่น, หัวกรวย Plastic ที่ไม่เคลือบสารหล่อลื่น โดยใช้หัวกรวยขนาด 30° หนัก 80 กรัม ของตัวอย่าง ดินเหนียวบนองุ่นเห่า Water Content 86.61 %.....	63
4.13 แสดงค่า error ของหัวกรวยที่เคลือบสารหล่อลื่น กับ ไม่เคลือบสารหล่อลื่น ที่ค่า Water Content ต่างๆ กัน	65
4.14 แสดงค่า Water Content (%) กับ ระยะจมของหัวกรวยหัวกรวยมาตรฐาน (Penetration d, mm.) ของตัวอย่างดินเหนียวบนทบุรี และตัวอย่างดินเหนียวบนองุ่นเห่า ใน scale Log-Log.....	67
4.15 แสดงค่า Water Content (%) กับ ระยะจมของหัวกรวยหัวกรวย (Penetration d, mm.) ของตัวอย่างดินเหนียวบนทบุรี และตัวอย่างดินเหนียวบนองุ่นเห่า เปรียบเทียบกับผลการทดสอบของ Feng, T.W. (2000).....	67

สารบัญรูป (ต่อ)

รูปที่	หน้า
4.16 แสดงค่า Water Content (%) กับ ระยะจมของหัวกรวยหัวกรวย (Penetration d, mm.) ของตัวอย่างดินเหนียววนนทบุรี และตัวอย่างดินเหนียววนองงูเห่า เปรียบเทียบกับผลการ ทดสอบของ Skempton & Northey (1953)	68
4.17 แสดงค่า Water Content (%) กับ ระยะจมของหัวกรวยหัวกรวย (Penetration d, mm.) ของตัวอย่างดินเหนียววนนทบุรี และตัวอย่างดินเหนียววนองงูเห่า เปรียบเทียบกับผลการ ทดสอบของ Karlsson (1961)	68
4.18 แสดงค่า Water Content (%) กับ ระยะจมของหัวกรวยหัวกรวย (Penetration d, mm.) ของตัวอย่างดินเหนียววนนทบุรี และตัวอย่างดินเหนียววนองงูเห่า เปรียบเทียบกับผลการ ทดสอบของ Wood (1985)	69
4.19 แสดงค่ากำลังรับแรงเฉือน (shear Strength, kPa) กับ ค่าปริมาณค่าชั้นของดิน (Water Content, %) ของดินเหนียววนองงูเห่า	73
4.20 แสดงค่ากำลังรับแรงเฉือน (shear Strength, kPa) กับ ค่าปริมาณค่าชั้นของดิน (Water Content, %) ของดินเหนียววนนทบุรี	73
4.21 แสดงค่ากำลังรับแรงเฉือน (shear Strength, kPa) กับ ค่าปริมาณค่าชั้นของดิน (Water Content, %) ของดินเหนียว Kaoline	74
4.22 แสดงค่ากำลังรับแรงเฉือน (shear Strength, kPa) กับ ค่าปริมาณค่าชั้นของดิน (Water Content, %) ของดินเหนียววนองงูเห่า, ดินเหนียววนนทบุรี, ดินเหนียว Kaoline ..	74
4.23 แสดงค่ากำลังรับแรงเฉือน (shear Strength, kPa) กับ Liquidity Index ของดินเหนียววนองงูเห่า, ดินเหนียววนนทบุรี, ดินเหนียว Kaoline	75
4.24 แสดงค่ากำลังรับแรงเฉือน (shear Strength, kPa) กับ Water Content (%) ใน Log-Log scale ของดินเหนียววนองงูเห่า, ดินเหนียววนนทบุรี, ดินเหนียว Kaoline ..	75
4.25 แสดงค่ากำลังรับแรงเฉือน (shear Strength, kPa) กับ Liquidity Index ของตัวอย่าง ดินเหนียววนองงูเห่า, ดินเหนียววนนทบุรี เปรียบเทียบกับกราฟที่ได้จาก Skempton Northley (1953)	76
4.26 แสดงค่ากำลังรับแรงเฉือน (shear Strength, kPa) กับ Liquidity Index ของตัวอย่าง ดินเหนียววนองงูเห่า, ดินเหนียววนนทบุรี เปรียบเทียบกับกราฟที่ได้จาก with Zreik(1995), Leroueil et al.(1983), Locat&Derners (1988).....	76

สารบัญรูป (ต่อ)

รูปที่	หน้า
4.27 แสดงค่า Water Content (%) กับ ค่ากำลังรับแรงเฉือน (Shear Strength, kPa) ของตัวอย่างดินเหนียวหนอนงูเห่า เมื่อทดสอบโดยการเปลี่ยนแปลงค่า Salt Content ที่ 40 g/L, 20 g/L และ 10 g/L	79
4.28 แสดงค่า Water Content (%) กับ ค่ากำลังรับแรงเฉือน (Shear Strength, kPa) ของตัวอย่างดินเหนียววนทนบุรี เมื่อทดสอบโดยการเปลี่ยนแปลงค่า Salt Content ที่ 40 g/L, 20 g/L และ 10 g/L.....	79
4.29 ค่ากำลังรับแรงเฉือน (Shear Strength c_u , kPa) กับ ระยะจมของหัวกรวย (Penetration d, mm.) ทดสอบกับตัวอย่างดินหนอนงูเห่า.....	84
4.30 ค่ากำลังรับแรงเฉือน (Shear Strength c_u , kPa) กับ ระยะจมของหัวกรวย (Penetration d, mm.) ทดสอบกับตัวอย่างดินหนบุรี	84
4.31 ค่ากำลังรับแรงเฉือน (Shear Strength c_u , kPa) กับ $\frac{W}{d^2}$ (kPa) เพื่อหาค่า K ของตัวอย่างดินหนอนงูเห่า	86
4.32 ค่ากำลังรับแรงเฉือน (Shear Strength c_u , kPa) กับ $\frac{W}{d^2}$ (kPa) เพื่อหาค่า K ของตัวอย่างดินหนบุรี	86
4.33 ค่า Water Content (w_n , %) กับ ระยะจมของหัวกรวย (Penetration d, mm.) ทดสอบกับตัวอย่างดินหนอนงูเห่า โดยเปลี่ยนแปลงน้ำหนักหัวกรวย	88
4.34 ค่ากำลังรับแรงเฉือน (Shear Strength c_u , kPa) กับ ระยะจมของหัวกรวย (Penetration d, mm.) ทดสอบกับตัวอย่างดินหนอนงูเห่า โดยเปลี่ยนแปลงน้ำหนักหัวกรวย	88
4.35 ค่ากำลังรับแรงเฉือน (Shear Strength c_u , kPa) กับ ระยะจมของหัวกรวย (Penetration d, mm.) ทดสอบกับตัวอย่างดินหนอนงูเห่า โดยเปลี่ยนแปลงน้ำหนักหัวกรวย ใน Scale Log-Log	89
4.36 ค่าระยะจมของหัวกรวยที่พิกัดเหลว (Penetration @ Liquid Limit, d) กับน้ำหนักของหัวกรวยที่แตกต่างกัน (Cone Weight, W).....	89
4.37 ค่ากำลังรับแรงเฉือน (Shear Strength c_u , kPa) กับ $\frac{W}{d^2}$ (kPa) เพื่อหาค่า K ของตัวอย่างดินหนอนงูเห่า โดยใช้หัวกรวยหนัก 22.5 กรัม มุม 30°	90

สารบัญรูป (ต่อ)

รูปที่	หน้า
4.38 ค่ากำลังรับแรงเฉือน (Shear Strength c_u , kPa) กับ $\frac{W}{d^2}$ (kPa) เพื่อหาค่า K ของตัวอย่างดินหนองงเห่า โดยใช้หัวกรวยหนัก 13.5 กรัม มุม 30°	91
4.39 ค่ากำลังรับแรงเฉือน (Shear Strength c_u , kPa) กับ ระยะตามของหัวกรวย (Penetration d, mm.) สำหรับตัวอย่างดินหนองงเห่า โดยใช้หัวกรวย มุม 60° หนัก 80กรัม.....	93
4.40 ค่ากำลังรับแรงเฉือน (Shear Strength c_u , kPa) กับ ระยะตามของหัวกรวย (Penetration d, mm.) สำหรับตัวอย่างดินหนองงเห่า โดยใช้หัวกรวย มุม 90° หนัก 80 กรัม.....	93
4.41 ค่ากำลังรับแรงเฉือน (Shear Strength c_u , kPa) กับ ระยะตามของหัวกรวย (Penetration d, mm.) สำหรับตัวอย่างดินนทบุรี โดยใช้หัวกรวย มุม 60° หนัก 80 กรัม.....	94
4.42 ค่ากำลังรับแรงเฉือน (Shear Strength c_u , kPa) กับ ระยะตามของหัวกรวย (Penetration d, mm.) สำหรับตัวอย่างดินนทบุรี โดยใช้หัวกรวย มุม 90° หนัก 80 กรัม.....	94
4.43 ค่ากำลังรับแรงเฉือน (Shear Strength c_u , kPa) กับ ระยะตามของหัวกรวย (Penetration d, mm.) ในกราฟ Log-Log สำหรับตัวอย่างดินหนองงเห่า โดยใช้ หัวกรวยมุม 60° หนัก 80กรัม.....	95
4.44 ค่ากำลังรับแรงเฉือน (Shear Strength c_u , kPa) กับ ระยะตามของหัวกรวย (Penetration d, mm.) ในกราฟ Log-Log สำหรับตัวอย่างดินหนองงเห่า โดยใช้ หัวกรวยมุม 90° หนัก 80 กรัม.....	95
4.45 ค่ากำลังรับแรงเฉือน (Shear Strength c_u , kPa) กับ ระยะตามของหัวกรวย (Penetration d, mm.) ในกราฟ Log-Log สำหรับตัวอย่างดินนทบุรี โดยใช้ หัวกรวยมุม 60° หนัก 80 กรัม.....	96
4.46 ค่ากำลังรับแรงเฉือน (Shear Strength c_u , kPa) กับ ระยะตามของหัวกรวย (Penetration d, mm.) ในกราฟ Log-Log สำหรับตัวอย่างดินนทบุรี โดยใช้ หัวกรวยมุม 90° หนัก 80 กรัม.....	96

สารบัญรูป (ต่อ)

รูปที่

หน้า

4.47 ค่ากำลังรับแรงเฉือน (Shear Strength c_u , kPa) กับ $\frac{W}{d^2}$ (kPa) เพื่อหาค่า K ของตัวอย่างดินหนองงูเห่า โดยใช้มุม 60° หัวกรวยหนัก 80 กรัม.....	98
4.48 ค่ากำลังรับแรงเฉือน (Shear Strength c_u , kPa) กับ $\frac{W}{d^2}$ (kPa) เพื่อหาค่า K ของตัวอย่างดินหนองงูเห่า โดยใช้มุม 90° หัวกรวยหนัก 80 กรัม.....	98
4.49 ค่ากำลังรับแรงเฉือน (Shear Strength c_u , kPa) กับ $\frac{W}{d^2}$ (kPa) เพื่อหาค่า K ของตัวอย่างดินหนบทบูรี โดยใช้มุม 60° หัวกรวยหนัก 80 กรัม.....	99
4.50 ค่ากำลังรับแรงเฉือน (Shear Strength c_u , kPa) กับ $\frac{W}{d^2}$ (kPa) เพื่อหาค่า K ของตัวอย่างดินหนบทบูรี โดยใช้มุม 60° หัวกรวยหนัก 80 กรัม.....	99
4.51 แสดงค่า Water Content (%) กับ Viscosity (η , mPa-s) ของตัวอย่างดินหนบทบูรี ทดสอบ ด้วยเครื่องมือ Marsh Funnel Viscometer.....	101
4.52 แสดงค่า Water Content (%) กับ Viscosity (η , mPa-s) ของตัวอย่างดินหนองงูเห่า ทดสอบด้วยเครื่องมือ Marsh Funnel Viscometer.....	102
4.53 แสดงค่า Water Content (%) กับ Viscosity (η , mPa-s) ของตัวอย่างดินหนบทบูรีและ หนองงูเห่า ทดสอบด้วยเครื่องมือ Marsh Funnel Viscometer.....	103
4.54 แสดงค่า Viscosity (η , mPa-s) กับ Liquidity Index scale Log-Log ของตัวอย่างดิน หนบทบูรี ทดสอบด้วยเครื่องมือ Marsh Funnel Viscometer.....	104
4.55 แสดงค่า Viscosity (η , mPa-s) กับ Liquidity Index scale Log-Log ของตัวอย่างดิน หนองงูเห่า ทดสอบด้วยเครื่องมือ Marsh Funnel Viscometer.....	104
4.56 แสดงค่า Viscosity (η , mPa-s) กับ Liquidity Index scale Log-Log ของตัวอย่างดินหนอง งูเห่าและ ตัวอย่างดินหนบทบูรี ทดสอบด้วยเครื่องมือ Marsh Funnel Viscometer.....	105
4.57 แสดงการแปลงหน่วยของค่าความหนืด ในหน่วย วินาที (second) เป็น mPa-s.....	106
4.58 แสดงค่า Viscosity (η , mPa-s) กับ Liquidity Index ของตัวอย่างดินหนบทบูรี ทดสอบด้วย เครื่องมือ Hand-Crank Viscometer.....	108
4.59 แสดงค่า Viscosity (η , mPa-s) กับ Liquidity Index ของตัวอย่างดินหนองงูเห่า ทดสอบด้วย เครื่องมือ Hand-Crank Viscometer.....	109

สารบัญรูป (ต่อ)

รูปที่	หน้า
4.60 แสดงเปรียบเทียบค่า Viscosity (η , mPa-s) กับ Liquidity Index scale Log-Log ของตัวอย่างดินน้ำทึบ และ ตัวอย่างดินเหนียว เท่า ทดสอบด้วยเครื่องมือ Hand-Crank Viscometer	110
4.61 แสดงค่า Viscosity (η , mPa-s) กับ Liquidity Index scale Log-Log ของ ตัวอย่างดินน้ำทึบ ทดสอบด้วยเครื่องมือ Hand-Crank Viscometer.....	111
4.62 แสดงค่า Viscosity (η , mPa-s) กับ Liquidity Index scale Log-Log ของ ตัวอย่างดินเหนียว ทดสอบด้วยเครื่องมือ Hand-Crank Viscometer	111
4.63 แสดงการเปรียบเทียบค่า Viscosity (η , mPa-s) กับ Liquidity Index scale Log-Log ของ ตัวอย่างดินน้ำทึบกับตัวอย่างดินเหนียว เท่า ทดสอบด้วยเครื่องมือ Hand-Crank Viscometer.....	112
4.64 แสดงผลการทดสอบค่า Water Content (%) กับค่าระยะจมของหัวกรวย (Cone Penetration d,mm.) โดยใช้หัวกรวยขนาด 30° หนัก 80 g, 22.5 g, 13.5 g และค่าความหนืด (Viscosity η , mPa-s).....	114
4.65 แสดงผลการทดสอบค่า Liquidity Index กับค่าระยะจมของหัวกรวย (Cone Penetration d,mm.) โดยใช้หัวกรวยขนาด 30° หนัก 80 g, 22.5 g, 13.5 g และค่าความหนืด (Viscosity η , mPa-s) ตัวอย่างดินเหนียว.....	115
4.66 แสดงระยะที่จม (Penetration d,mm.) ของกรวย 30° หนัก 80 g, 22.5 g และ 13.5 g กับค่าความหนืด (Viscosity, η) สำหรับตัวอย่างดินเหนียว.....	116
4.67 แสดงค่ากำลังรับแรงเฉือน (Shear Strength c_u , kPa) กับค่าความหนืด (Viscosity, η) ของกรวย 30° หนัก 22.5 g และ 13.5 g สำหรับตัวอย่างดินเหนียว.....	117

จุฬาลงกรณ์มหาวิทยาลัย

สารบัญตาราง

ตาราง	หน้า
ตารางที่ 2.1 ค่าของแรงในแนวตั้ง (P) สำหรับหัวกรวย: Hansbo(1957)	11
ตารางที่ 2.2 เปรียบเทียบค่า K โดย Zreik (1995)	15
ตารางที่ 2.3 ข้อมูลแสดงเวลาในการตกจาก Automated fall cone โดย Zreik (1995)	15
ตารางที่ 2.4 ค่า c และ m ของดินเหนียวจากค่า strength ratio 50, 100 และ 2000 โดย Feng, T.W. (2000)	18
ตารางที่ 2.5 คำนวนค่า N_{ch} , δ และ λ สำหรับช่วงของ β และ α โดย Koumoto(2001)	21
ตารางที่ 2.6 ตาราง 2.6 ค่า K สำหรับการเปลี่ยนแปลง β โดย Koumoto(2001)	21
ตารางที่ 2.7 ข้อมูลทั่วไปของดินที่ใช้ทดสอบ โดย Torrance (1987)	29
ตารางที่ 2.8 ข้อมูล Atterberg Limits ของดินเหนียวที่มี sodium-saturated, ค่าความเค็มสูง โดย Torrance (1987)	30
ตารางที่ 3.1 โปรแกรมการทดสอบ	37
ตารางที่ 3.1 การสอบเทียบค่าสปริงที่ใช้ทดสอบ	47
ตารางที่ 4.1 ผลการทดสอบคุณสมบัติพื้นฐาน และเคมีของดินเหนียวธรรมชาติ	52
ตารางที่ 4.2 แสดงค่าระยะ OB จากรูปที่ 4.7 เมื่อกีดผลกระทบจาก a_u/c_u และ Heave ที่ทำให้ค่า OB เปลี่ยนไป	59
ตารางที่ 4.3 แสดงระยะของหัวกรวยที่เวลา 5 วินาที	65
ตารางที่ 4.4 แสดงค่า c และ m จากสมการของ Feng, T.W. (2000)	70
ตารางที่ 4.5 แสดงค่า Liquid Limit และ Plastic Limit ที่ค่า Salt Content 10 g/L, 20 g/L และ 40 g/L	80
ตารางที่ 4.6 แสดงค่า K จากการคำนวนสมการที่ 4.2 ที่มุ่งหัวกรวยต่างกัน	83
ตารางที่ 4.7 สรุปค่า K ที่ได้จากการวิจัยที่ผ่านมา	85